

北大工 正 長谷川 和義

1: まえがき 昨年は、浸食砂の慣性力を考慮にいれて、非平衡流砂量式を導き、せん断力分布を一定とみなして、実験値との比較をおこなったが、砂粒の加速によるせん断力項の係数を、かなり大きく見積らないと実験値に一致しなかった。その後、いろいろの角度から検討を加えた結果、この項が機構的に大きくなりえないことがわかり、流砂量の分布は、せん断力の分布を考慮しないと、説明できないことが明かになった。しかし、この場合にも、非平衡性は無視できず、各場所の流砂量は、せん断力に対してある距離だけずれて平衡するという結論をえた。

## 2: 非平衡流砂量の基礎式

昨年報告した側壁斜面の浸食量に関する基礎式は、横断方向にせん断力分布をもつ一般の場合についても成り立つ。今、この式の一部を修正し、軸系を図-1のようにとって示すと、次のようになる。

$$\int_p^L \frac{c(p')}{|\tan\tilde{\gamma}(p')|} dp' + G(p) c(p) = F(p) \quad \dots \dots \dots \quad (1)$$

ただし、

$$F(p) = K_1 m (1 - \frac{1}{\sqrt{m T_*}}) (T_* - 1) u_* d \quad G(p) = K_1 K_2 (\sqrt{m T_*} - 1) d$$

$$\tan\tilde{\gamma}(p) = - \frac{\tan\theta}{\mu_s} \sqrt{\frac{m}{T_*}} \quad T_* = \frac{u_*^2}{u_* c^2 \cos\theta}$$

$$K_1 = \psi_d \tau_* c / \mu_s \quad K_2 = 6.6 \psi_d (\sigma/\rho + 0.5) \quad m = \mu_s / \mu_k$$

$c$  : 単位時間単位面積あたりの浸食量(体積)  $\psi_d$  : 砂粒に働く流速に関する流速係数

$\tilde{\gamma}$  : 移動粒子のx軸にたいする方向角  $\theta$  : 側壁傾斜角 他は、慣用の記号にしたがっている。

$c(p)$ に関する解は、

$$c(p) = \frac{F(p)}{G(p)} - \frac{1}{G(p)} \int_p^L \frac{F(\xi)}{|\tan\tilde{\gamma}(\xi)| G(\xi)} \exp\left\{-\int_p^\xi \frac{d\xi'}{|\tan\tilde{\gamma}(\xi')| G(\xi')}\right\} d\xi \quad \dots \dots \quad (2)$$

一方、p方向の流砂量は、

$$q_{Bp} = \int_p^L \frac{c(p')}{|\sin\tilde{\gamma}(p')|} dp' \sin\tilde{\gamma}(p) \approx \int_p^L \frac{c(p')}{|\tan\tilde{\gamma}(p')|} dp' \tan\tilde{\gamma}(p) \quad \dots \dots \quad (3)$$

したがって、(1)、(2)式から

$$q_{Bp} = \tan\tilde{\gamma}(p) \int_p^L \frac{F(\xi)}{|\tan\tilde{\gamma}(\xi)| G(\xi)} \exp\left\{-\int_p^\xi \frac{d\xi'}{|\tan\tilde{\gamma}(\xi')| G(\xi')}\right\} d\xi \quad \dots \dots \quad (4)$$

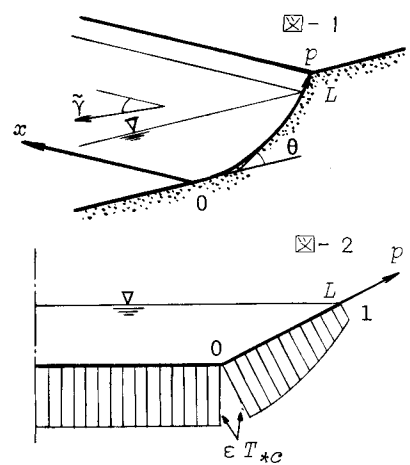
さて、これらの式で、非平衡性をもたらしているのは、(1)式の  $G(p)c(p)$ なる項であり、これが0となるときは、

$$q_{Bp}(p) / \tan\tilde{\gamma}(p) = F(p) = K_1 m (1 - 1/\sqrt{m T_*}) (T_* - 1) u_* d \quad \dots \dots \quad (5)$$

となって、芦田・道上の平衡流砂量の原式に一致し、 $G(p)$ の大小が非平衡性を規定していることがわかる。昨年は、 $T_*$ に分布を認めず、 $q_{Bp}$ の分布がすべて非平衡性のあらわれとみなしたが、そのようにすると、 $G$ のなかの係数  $K_2$ を、10<sup>3</sup>程度にとる必要がでてきて、常識的な数値  $K_2 \neq 177$ より大きくかけはなれる。したがって、 $T_*$ の分布を一様とみなすには無理があり、 $q_{Bp}$ を求めるには、分布形をあたえて(4)式の積分を解く必要がある。

## 3: 非平衡流砂量の近似式

(4)式の積分は、 $T_*$ が簡単な分布をする場合でも、容易には解くことができない。そこで、 $G$ が、比較的に小さいことを考慮して、次のような近似式を用いる。すなわち、(3)式を  $p$ について微分し、(3)式とともに、(1)式に代入整理すると、



$$\{1 + G \frac{|\tan\tilde{\gamma}|}{\tan\tilde{\gamma}} \frac{dtan\tilde{\gamma}}{dp}\} q_{Bp} - G |\tan\tilde{\gamma}| \frac{dq_{Bp}}{dp} = \tan\tilde{\gamma} F$$

$$\text{ここで、 } Gd/dp(\tan \tilde{\gamma}) \approx 0 \quad , \quad G|\tan \tilde{\gamma}| = \Delta(p) \quad \dots \quad (6)$$

とおくと、前式は  $q_{Bp} - \Delta d/dp(q_{Bp}) = \tan \tilde{\gamma} F \equiv \tilde{q}_{Bp}$  .... (7)

あるいは、 $p-\Delta$  をあらたに  $p$  として、 $q_{BP}(p) = \tilde{q}_{BP}(p+\Delta) \cdots (9)$

この式は、p点における非平衡流砂量が、それより $\Delta$ だけ上の平

砂量に等しいことを示している。流砂の運動方向と軸の方向が一致する場合には、(1)式の積分範囲のとり方が逆になるので、

$$q_{Bp}(p) = \tilde{q}_{Bp}(p - \Delta) \dots \dots \dots \quad (9)$$

さて、 $\Delta$  を  $|\tan \tilde{\gamma}|$  で割ると、流砂の運動方向のずれの距離  $\delta$  がえられ、 $\psi_d = 8.5$ 、 $\sigma / \rho = 2.65$ 、 $\tau_{sc} = 0.05$ 、 $\cos \theta = 1$  とおくと、河床で成り立つ次式をうる。

$$\delta \approx 75 \left( \sqrt{\frac{\mu_s}{\mu_\nu}} \frac{u_*}{u_{*c}} - 1 \right) d \quad \dots \dots \dots \quad (10)$$

4：計算例

Ippenらによる台形水路のせん断力測定実験によると、側壁上のせん断力分布は、潤辺に対する2次ないし3次の曲線のようである。そこで、図-2のような台形水路を想定し、側壁上の $T_*$ が  $T_* = \varepsilon T_{*0} \{1 - a(\frac{p}{L})^3\}$  ..... (11) にてあらわされるものと考え、 $q_{Bp}$  に対する厳密解 (4)式、近似解 (9)式、平衡解 (5)式を計算し比較する。ただし、 $\varepsilon$  は平均せん断力に対する河床せん断力の割増係数、 $T_{*0}$  は  $T_*$  の断面平均、 $a$  は  $p=L$  (水際) における  $T_*$  の値によって決まる定数。今の場合には、 $T_*(L) = 1$  と考え、 $a = 1 - 1/(\varepsilon T_*)$  とおいている。なお、(4)式は数値積分をおこなった。

図-3は、 $L \equiv 100d$ の場合について  $g_{\perp}(0)/n_0 d$

おこなったものである。また、図-4 (a)、(b) は  $q_{BP}(p)/q_{BP}(0)$  の比較を示す。 $T_{*0}$  が大きくなると差がでてくるが、近似解の近似の度合はよいようであり、また、非平衡性が無視できないことがわかる。

## 5：実験値との比較

図-5は、実測による側壁浸食速度と、(9)、(11)式による浸食速度の差を、単位時間あたりの河岸崩落量で除し、崩落砂の分布密度  $\phi$  を求めたものを示す。ただし、 $s$  は河岸崩壊端を原点に、 $p$  と逆向に測った距離。実験は、 $T_{\text{実}} = 2.1 \sim 12.4$  の範囲の9種類についておこなわれたが、 $\phi$  は、掃流力に関係なく、ガンマ分布に近い形でまとまっており、また、村本・藤田による<sup>2)</sup>崩落砂のサンプリング実験の結果とも、ほぼ一致している。これらによって、(9)、(11)式が妥当なものと考える。

参考文献：1)長谷川・長田、直線状流路の側壁浸食機構に関する研究

3) 村本・藤田 河岸の浸食機構について、同上第28回年講2

135 8刀48 • 10

